

Efectos de violación de sabor y de CP en teorías efectivas

M. C. Felipe de Jesús Tlachino Macuitl

Asesor:

Dr. J. Jesús Toscano Chávez

Benemérita Universidad Autónoma de Puebla

Facultad de Ciencias Físico Matemáticas

Posgrado en Física Aplicada

Contenido

- Introducción
- El vértice $H_{q_i q_j}$
- Acoplamiento $tcgg$
- Conclusiones

Introducción

- El fenómeno de cambio de sabor está muy suprimido dentro del modelo estándar (ME)
- El único efecto de esta naturaleza se presenta en el sector de quarks, a través de corrientes cargadas
- En el sector de quarks las corrientes neutras con cambio surgen a orden de un lazo
- Evidencia experimental de oscilaciones de neutrinos apunta claramente hacia la no conservación de sabor leptónico

Introducción

- La violación de CP es un fenómeno cuya validez ha sido establecida experimentalmente en procesos con cambio de sabor como las mezclas de mesones K , B y D
- La fase de la matriz Kobayashi- Maskawa (KM) es la única fuente de violación de CP en el sector electrodébil del ME
- Con motivación derivada del hecho de que cualquier proceso que está fuertemente suprimido o prohibido dentro del ME constituye un laboratorio natural para estudiar efectos de nueva física, estudiaremos acoplamientos con cambio de sabor y violación de CP mediados por un bosón vectorial de norma cargado V y por el bosón de Higgs H

Introducción

- Es este trabajo de tesis estudiaremos los acoplamientos $f_i f_j \gamma\gamma$ y $f_i f_j gg$ mediados por un bosón de norma vectorial cargado V y por el bosón de Higgs H
- Se asumirá que existe un nuevo bosón de norma cargado V
 - el cual se acopla en la forma más general posible a pares de fermiones
 - consistente con teoría de renormalización y las simetrías de Lorentz y electromagnética
- El vértice $H f_i f_j$ se genera al introducir invariantes de hasta dimensión seis en el sector de Yukawa

El vértice Hq_iq_j

- El vértice Hq_iq_j es generado por un sector de Yukawa efectivo compuesto de invariantes $SU_L(2) \times U_Y(1)$ de hasta dimensión seis
- El sector efectivo de Yukawa puede ser escrito como [A. Cordero-Cid *et al.*, Phys. Rev. D **70**, 074003 (2004)]:

$$\begin{aligned} \mathcal{L}_{eff}^Y = & - Y_{ij}^d (\bar{Q}_i \Phi d_j) - Y_{ij}^u (\bar{Q}_i \tilde{\Phi} u_j) - \frac{\alpha_{ij}^d}{\Lambda^2} (\Phi^\dagger \Phi) (\bar{Q}_i \Phi d_j) \\ & - \frac{\alpha_{ij}^u}{\Lambda^2} (\Phi^\dagger \Phi) (\bar{Q}_i \tilde{\Phi} u_j) + H.c., \end{aligned}$$

El vértice Hq_iq_j

- Al realizar el rompimiento espontáneo de la simetría, \mathcal{L}_{eff}^Y puede ser diagonalizado vía las matrices unitarias V_R^u y V_L^u , con lo cual campos de norma se transforman en campos físicos:

$$\mathcal{L}_{u_i u_j H} = -H\bar{u}_i(\omega_R^{ij} P_R + \omega_L^{ij} P_L)u_j,$$

donde

$$\omega_R^{ij} = \frac{g m_i}{2 m_W} \delta_{ij} + \Omega_{ij},$$

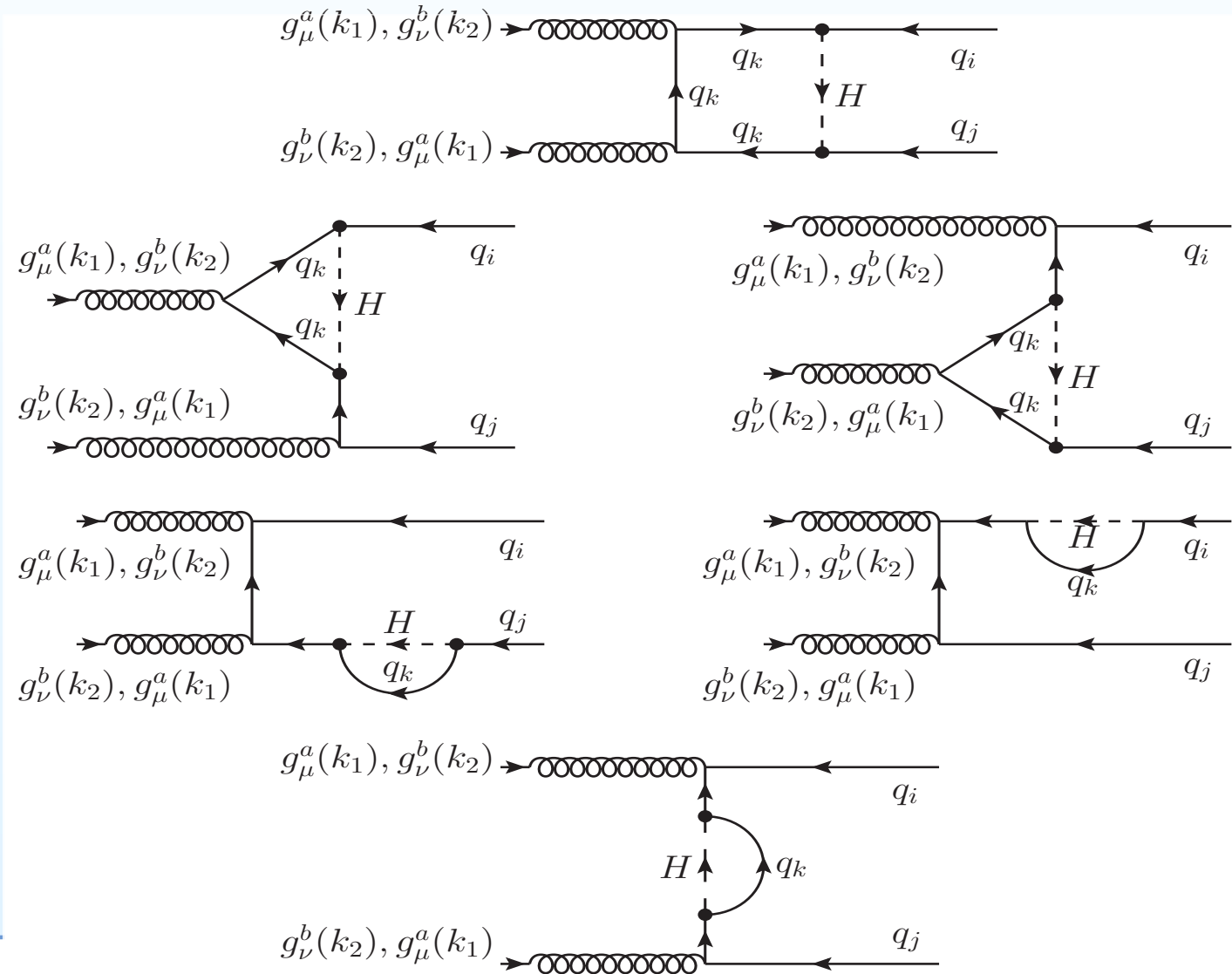
$$\omega_L^{ij} = \frac{g m_i}{2 m_W} \delta_{ij} + \Omega_{ij}^*,$$

- La matriz Ω^u representa los efectos de nueva física y está dada por

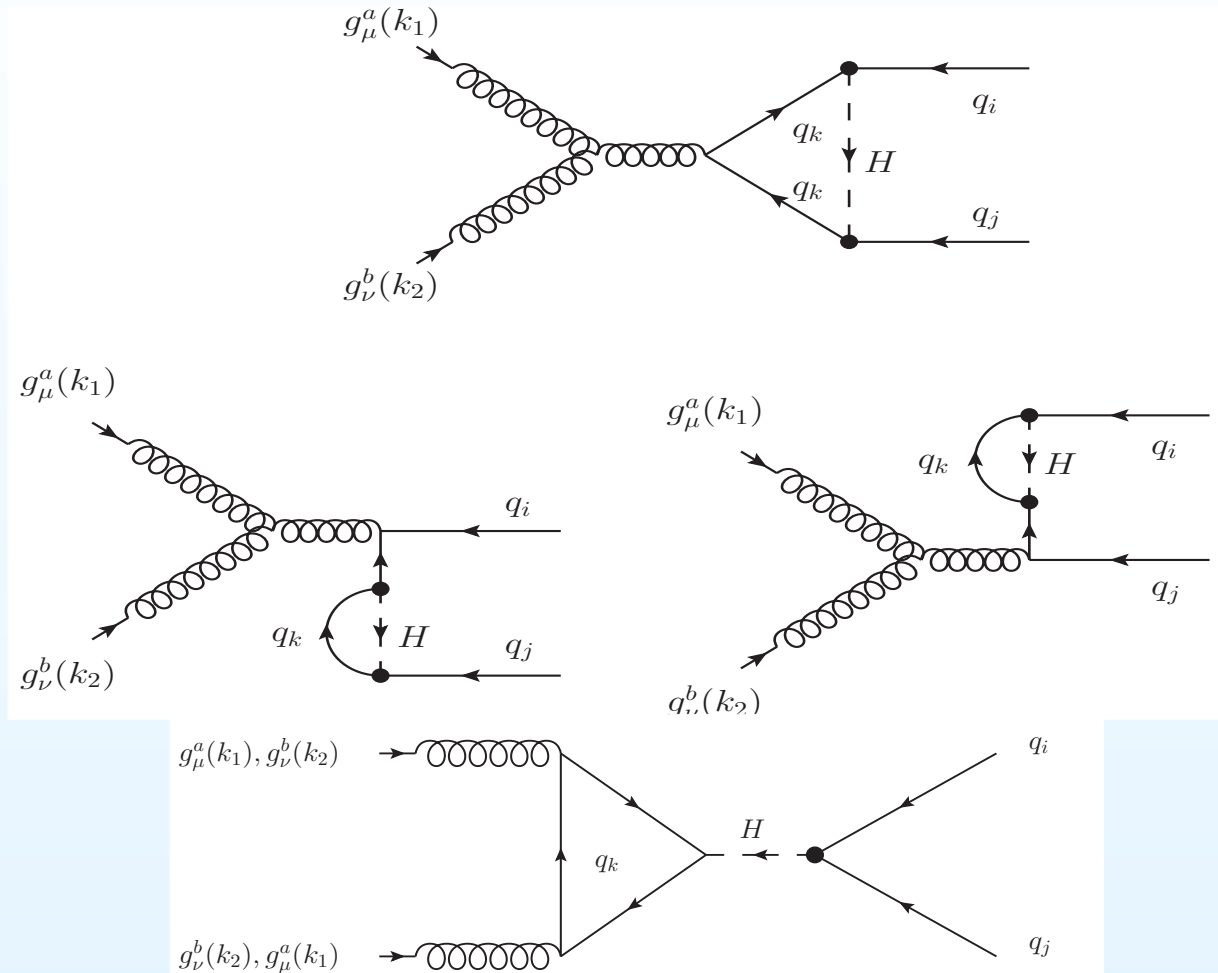
$$\Omega^u = V_L^u \frac{1}{\sqrt{2}} \frac{v^2}{\Lambda^2} \alpha^u V_R^u$$

Acoplamiento $tcgg$

- Los diagramas que contribuyen al acoplamiento $tcgg$ son



Acoplamiento $tcgg$



Acoplamiento $tcgg$

- La amplitud del acoplamiento $tcgg$ esta dada por

$$\mathcal{M}_{total}^{\mu\nu ab} = \mathcal{M}_{CTB}^{\mu\nu ab} + \mathcal{M}_{VT}^{\mu\nu ab} + \mathcal{M}_{RED(H)}^{\mu\nu ab}, \quad (1)$$

donde

$$\mathcal{M}_{CTB}^{\mu\nu ab} = \frac{g_s^2}{8} (\lambda^a \lambda^b \Gamma_{CTB}^{\mu\nu} + \lambda^b \lambda^a \Gamma_{CTB}^{\nu\mu}), \quad (2)$$

y

$$\mathcal{M}_{VT}^{\mu\nu ab} = \frac{ig_s^2}{4} f^{abc} \lambda^c \Gamma_{VT}^{\mu\nu}, \quad (3)$$

Acoplamiento $tcgg$

- Es conveniente escribir la amplitud $\mathcal{M}_{total}^{\mu\nu ab}$ de la forma:

$$\mathcal{M}_{total}^{\mu\nu ab} = \mathcal{M}_{GI}^{\mu\nu ab} + \mathcal{M}_{NGI}^{\mu\nu ab} + \mathcal{M}_{RED(H)}^{\mu\nu ab}, \quad (4)$$

donde

$$\mathcal{M}_{GI}^{\mu\nu ab} = \frac{g_s^2}{8} (\lambda^a \lambda^b + \lambda^b \lambda^a) (\Gamma_{CTB}^{\mu\nu} + \Gamma_{CTB}^{\nu\mu}), \quad (5)$$

y

$$\mathcal{M}_{NGI}^{\mu\nu ab} = \frac{ig_s^2}{4} f^{abc} \lambda^c (\Gamma_{VT}^{\mu\nu} + \Gamma_{CTB}^{\mu\nu} - \Gamma_{CTB}^{\nu\mu}), \quad (6)$$

Acoplamiento $tcgg$

- La amplitud $\mathcal{M}_{total}^{\mu\nu ab}$ tiene simetría explícita de Bose y es finita
- La amplitud $\mathcal{M}_{RED(H)}^{\mu\nu ab}$ es finita e invariante de norma
- La amplitud $\mathcal{M}_{GI}^{\mu\nu ab}$ es finita e invariante de norma. El cálculo es análogo al del acoplamiento $f_i f_j \gamma\gamma$ [F. J. Tlachino *et al.*, *Phys. Rev.* **D79**, 093009 (2009)].
 - Se tienen estructuras con invariancia de norma explícita

Acoplamiento $tcgg$

$$T_{1L,R}^{\mu\nu} = F_{1L,R} \frac{g^{\mu\nu} k_1 \cdot k_2 - k_1^\nu k_2^\mu}{k_1 \cdot k_2},$$

$$T_{2L,R}^{\mu\nu} = F_{2L,R} \frac{(p_j^\mu k_1 \cdot k_2 - k_2^\mu k_1 \cdot p_j)(p_j^\nu k_1 \cdot k_2 - k_1^\nu k_2 \cdot p_j)}{(m_W k_1 \cdot k_2)^2},$$

$$T_{3L,R}^{\mu\nu} = (F_{3L,R} \not{k}_1 + F_{4L,R} \not{k}_2) \frac{(g^{\mu\nu} k_1 \cdot k_2 - k_1^\nu k_2^\mu)}{m_W k_1 \cdot k_2},$$

$$T_{8L,R}^{\mu\nu} = F_{13L,R} \frac{\not{k}_1 \gamma^\mu \gamma^\nu k_1 \cdot k_2 - \not{k}_1 \gamma^\mu \not{k}_2 k_1^\nu}{m_W k_1 \cdot k_2} + F_{14L,R} \frac{\not{k}_2 \gamma^\nu \gamma^\mu k_1 \cdot k_2 - \not{k}_2 \gamma^\nu \not{k}_1 k_2^\mu}{m_W k_1 \cdot k_2},$$

$$T_{9L,R}^{\mu\nu} = F_{15L,R} \frac{\not{k}_1 \not{k}_2 \gamma^\nu (p_j^\mu k_1 \cdot k_2 - k_2^\mu k_1 \cdot p_j)}{m_W^3 k_1 \cdot k_2} + F_{16L,R} \frac{\not{k}_2 \not{k}_1 \gamma^\mu (p_j^\nu k_1 \cdot k_2 - k_1^\nu k_2 \cdot p_j)}{m_W^3 k_1 \cdot k_2},$$

$$T_{10L,R}^{\mu\nu} = F_{17L,R} \frac{\not{k}_1 \gamma^\mu \not{k}_2 (p_j^\nu k_1 \cdot k_2 - k_1^\nu k_2 \cdot p_j)}{m_W^3 k_1 \cdot k_2} + F_{18L,R} \frac{\not{k}_2 \gamma^\nu \not{k}_1 (p_j^\mu k_1 \cdot k_2 - k_2^\mu k_1 \cdot p_j)}{m_W^3 k_1 \cdot k_2},$$

$$T_{11L,R}^{\mu\nu} = F_{19L,R} \frac{\not{k}_1 \gamma^\mu \not{k}_2 \gamma^\nu}{m_W^2} + F_{20L,R} \frac{\not{k}_2 \gamma^\nu \not{k}_1 \gamma^\mu}{m_W^2}$$

Acoplamiento $tcgg$

- La amplitud $\mathcal{M}_{NGI}^{\mu\nu ab}$ es finita y tiene simetría explícita de Bose
- Se logra obtener estructuras con invariancia de norma explícita

$$T_{12L,R}^{\mu\nu} = F_{11L,R} \frac{\gamma^\mu k_2 \gamma^\nu k_1 \cdot k_2 - k_1 k_2 \gamma^\nu k_2^\mu}{m_W k_1 \cdot k_2} + F_{12L,R} \frac{\gamma^\nu k_1 \gamma^\mu k_1 \cdot k_2 - k_2 k_1 \gamma^\mu k_1^\nu}{m_W k_1 \cdot k_2},$$

$$T_{13L,R}^{\mu\nu} = F_{13L,R} \frac{k_1 \gamma^\mu \gamma^\nu k_1 \cdot k_2 - k_1 \gamma^\mu k_2 k_1^\nu}{m_W k_1 \cdot k_2} - F_{14L,R} \frac{k_2 \gamma^\nu \gamma^\mu k_1 \cdot k_2 - k_2 \gamma^\nu k_1 k_2^\mu}{m_W k_1 \cdot k_2},$$

$$T_{14L,R}^{\mu\nu} = F_{15L,R} \frac{k_1 k_2 \gamma^\nu (p_j^\mu k_1 \cdot k_2 - k_2^\mu k_1 \cdot p_j)}{m_W^3 k_1 \cdot k_2} - F_{16L,R} \frac{k_2 k_1 \gamma^\mu (p_j^\nu k_1 \cdot k_2 - k_1^\nu k_2 \cdot p_j)}{m_W^3 k_1 \cdot k_2},$$

$$T_{15L,R}^{\mu\nu} = F_{17L,R} \frac{k_1 \gamma^\mu k_2 (p_j^\nu k_1 \cdot k_2 - k_1^\nu k_2 \cdot p_j)}{m_W^3 k_1 \cdot k_2} - F_{18L,R} \frac{k_2 \gamma^\nu k_1 (p_j^\mu k_1 \cdot k_2 - k_2^\mu k_1 \cdot p_j)}{m_W^3 k_1 \cdot k_2},$$

$$T_{16L,R}^{\mu\nu} = F_{19L,R} \frac{k_1 \gamma^\mu k_2 \gamma^\nu}{m_W^2} - F_{20L,R} \frac{k_2 \gamma^\nu k_1 \gamma^\mu}{m_W^2}$$

Acoplamiento $tcgg$

- Además se obtiene la siguiente estructura invariante de norma

$$\begin{aligned} T_{17L,R}^{\mu\nu} = & F_{22L,R} (k_1 k_2 g^{\mu\nu} + \gamma^\mu \gamma^\nu k_1 \cdot k_2 - \gamma^\mu k_2 k_1^\nu - k_1 \gamma^\nu k_2^\mu) \\ & - F_{23L,R} (k_2 k_1 g^{\mu\nu} + \gamma^\nu \gamma^\mu k_1 \cdot k_2 - \gamma^\nu k_1 k_2^\mu - k_2 \gamma^\mu k_1^\nu), \end{aligned} \quad (7)$$

- Solo se logra obtener si se toma la suma $\Gamma_{VT}^{\mu\nu}(k_1, k_2) + \Gamma_{CTB}^{\mu\nu}(k_1, k_2) - \Gamma_{CTB}^{\nu\mu}(k_2, k_1)$.

Acoplamiento $tcgg$

- Sin embargo, no se ha logrado demostrar la invariancia de norma para la amplitud $\mathcal{M}_{NGI}^{\mu\nu ab}$
 - Al contraer con k_1^μ o k_2^ν no se cancelan todas las estructuras de Dirac presentes en la amplitud
 - Los coeficientes dependen de manera complicada de funciones escalares de Passarino-Veltman

Acoplamiento $tcgg$

- Se analiza por separado la parte que no es invariante de norma
- Aplicando ecuación de Dirac y las condiciones cinematicas, se tiene:

$$\begin{aligned} T_{NGI} = & C0(m_t^2, m_c^2, m_t^2, 2k_1 \cdot k_2, m_\kappa^2, m_h^2, m_\kappa^2) E_1^{\mu\nu} \\ & + B0(2k_1 \cdot k_2, m_\kappa^2, m_\kappa^2) E_2^{\mu\nu} + B0(m_t^2, m_h^2, m_\kappa^2) E_3^{\mu\nu} \\ & + B0(m_c^2, m_h^2, m_\kappa^2) E_4^{\mu\nu} + B0(0, m_h^2, m_\kappa^2) E_5^{\mu\nu} + F_{SPV} E_6^{\mu\nu} \end{aligned} \quad (8)$$

- Al contraer con k_1^μ o k_2^ν no se cancelan todas las estructuras de Dirac presentes en T_{NGI}

Conclusiones

- Terminar el análisis de invariancia de norma del acoplamiento $tcgg$ mediado por el bosón de Higgs
- Una vez que se termine este cálculo se procederá al estudio de la amplitud del acoplamiento $f_i f_j \gamma \gamma$ mediado por el bosón de norma vectorial cargado V
- Ya estamos analizando la contribución del pseudobosón de Golstone asociado a V (G_V) al acoplamiento $f_i f_j \gamma \gamma$, ya que parte del análisis es similar al del acoplamiento $f_i f_j \gamma \gamma$ mediado por el bosón de Higgs